

# Física III

## A Lei de Gauss



Prof. VICTOR M. MIRANDA

# Objetivos de Aprendizagem

## Ao estudar este capítulo você aprenderá:

- Como determinar a quantidade de carga no interior de uma superfície fechada examinando o campo elétrico sobre a superfície;
- O que significa fluxo elétrico e como calculá-lo;
- Como a lei de Gauss relaciona o fluxo elétrico através de uma superfície fechada à carga englobada pela superfície;
- Como usar a lei de Gauss para calcular o campo elétrico produzido por distribuições simétricas de carga;
- Como usar a lei de Gauss para determinar a distribuição de carga a partir do campo elétrico;
- Como calcular o campo elétrico ou a distribuição de carga em um condutor carregado e em um corpo isolante uniformemente/não uniformemente carregado, para ambos com e sem cavidade.

# Fluxo de um Campo Elétrico Uniforme

- Para uma **superfície plana e campo elétrico uniforme**:

$$\Phi_E = EA$$

- Descreveremos o fluxo elétrico,  $\Phi_E$ , como o número de linhas de campo elétrico que atravessam uma dada área  $A$ .
  - ✓ Quando a **área aumenta**, um **número maior de linhas de  $\vec{E}$**  passa através dela, fazendo **aumentar o fluxo elétrico**.
  - ✓ Sabemos que **campos elétricos mais fortes** correspondem a **linhas de campo agrupadas mais compactamente** e, portanto, **mais linhas de campo por unidade de área (densidade de fluxo)**, de modo que novamente o **fluxo elétrico é maior**.

# Fluxo de um Campo Elétrico Uniforme

Generalizando:

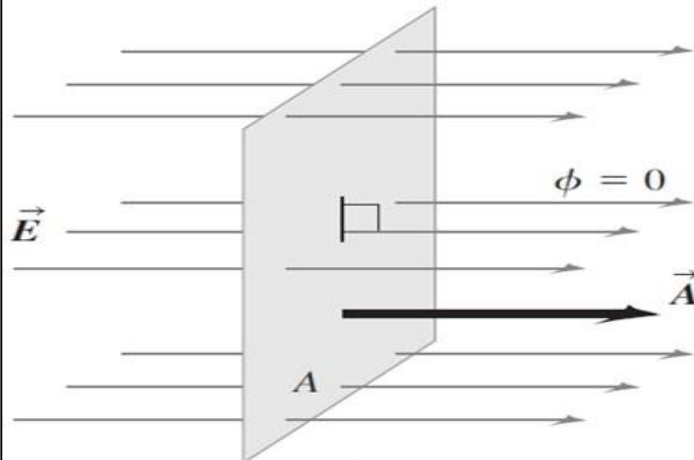
$$\Phi_E = \vec{E} \cdot \vec{A}$$

$$\Phi_E = EA \cos \phi$$

$$\Phi_E = E_{\perp} A$$

onde  $E_{\perp}$  é o componente de  $\vec{E}$  perpendicular ao plano da espira.

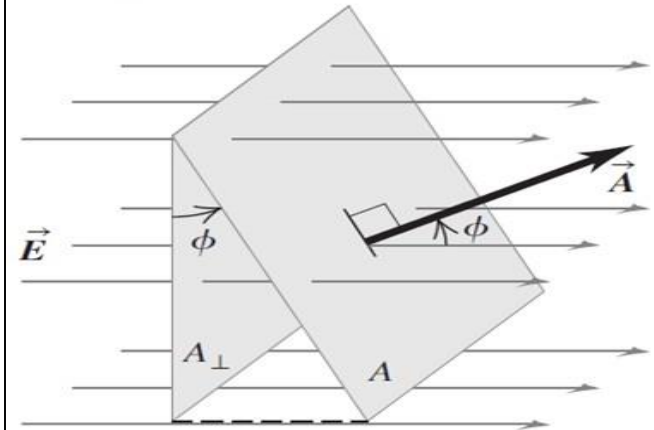
A superfície é frontal ao campo elétrico:



(o ângulo entre  $\vec{E}$  e  $\vec{A}$  é  $\phi = 0$ )

O fluxo  $\Phi_E = \vec{E} \cdot \vec{A} = EA$ .

A superfície está inclinada em relação a uma orientação frontal, formando um ângulo  $\phi$ :

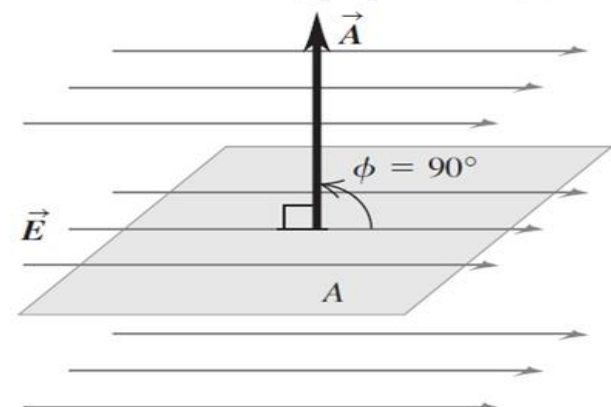


O ângulo entre  $\vec{E}$  e  $\vec{A}$  é  $\phi$ .

O fluxo  $\Phi_E = \vec{E} \cdot \vec{A} = EA \cos \phi$ .

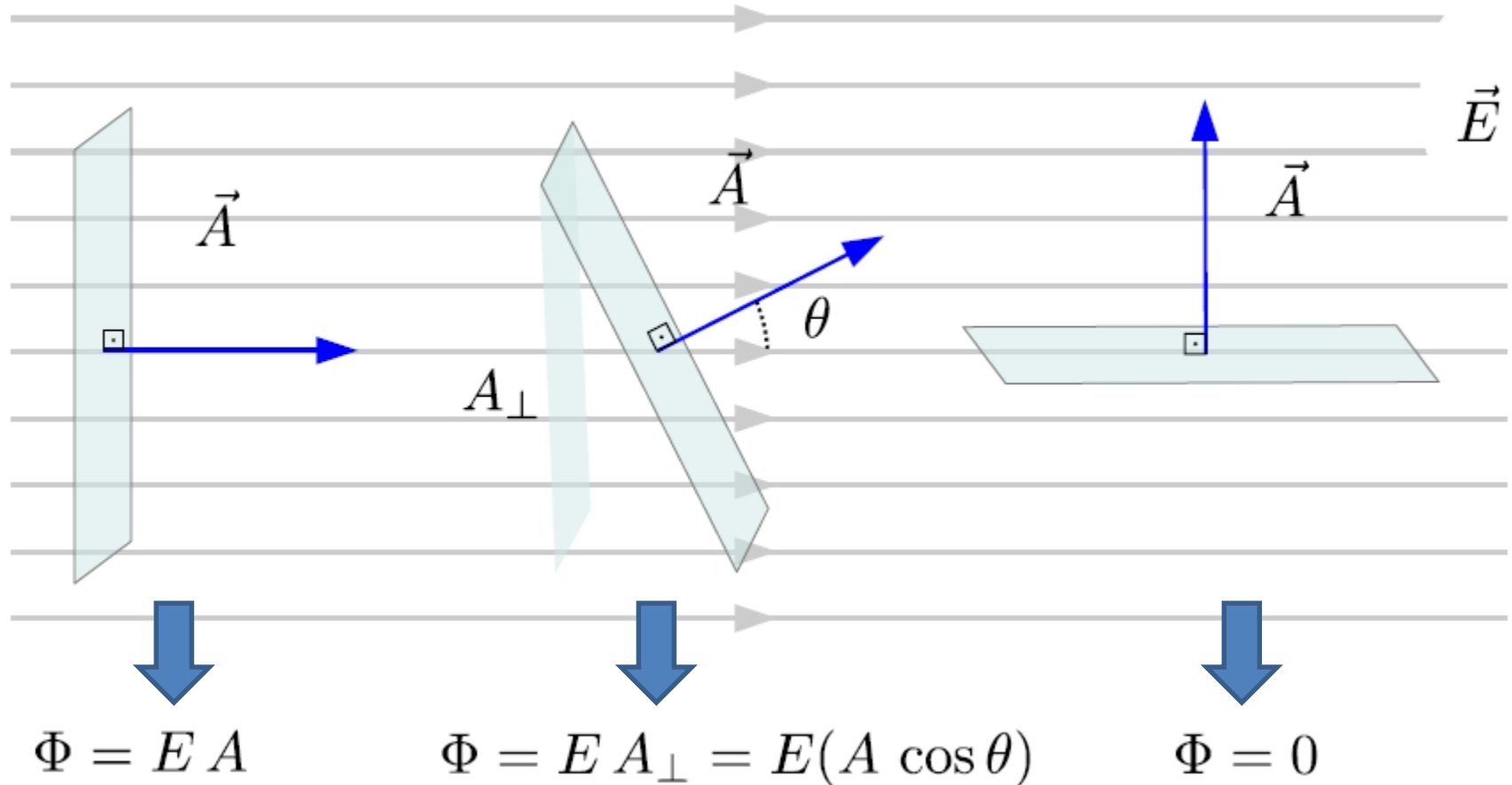
A superfície é lateral ao campo elétrico:

$\vec{E}$  e  $\vec{A}$  são perpendiculares



O fluxo  $\Phi_E = \vec{E} \cdot \vec{A} = EA \cos 90^\circ = 0$ .

# Fluxo de um Campo Elétrico Uniforme



Unidade de Fluxo de Campo:

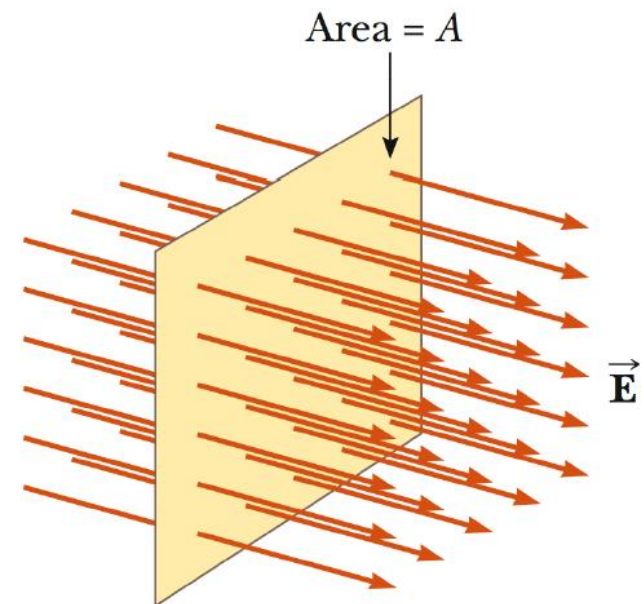
$$[\Phi] = [E][A] = Nm^2/C$$

# Fluxo de um Campo Elétrico Uniforme

No S.I. a unidade de fluxo elétrico sera:  $Nm^2/C$ .

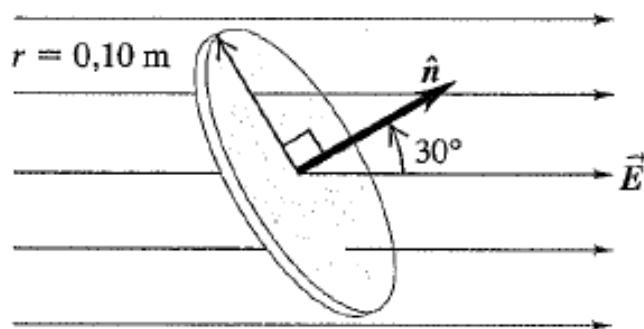
Podemos representar o vetor  $\vec{A}$  por:  $\vec{A} = A\hat{n}$ , onde  $\hat{n}$  é o vetor unitário normal à superfície.

Uma superfície possui dois lados, portanto existem dois sentidos para o vetor  $\vec{A}$  e  $\hat{n}$ . Devemos sempre especificar qual é o sentido escolhido.



# Exemplo: Fluxo de um Campo Elétrico Uniforme

**FLUXO ELÉTRICO ATRAVÉS DE UM DISCO** Um disco com raio igual a  $0,10\text{ m}$  está orientado de modo que seu vetor unitário normal  $\hat{n}$  forme um ângulo de  $30^\circ$  com um campo elétrico uniforme  $\vec{E}$ , cujo módulo é igual a  $2,0 \times 10^3\text{ N/C}$  (Figura 22.7). (Como essa superfície não é fechada, não podemos especificar um lado ‘interno’ nem ‘externo’. Por essa razão, tivemos de escolher o sentido de  $\hat{n}$  na figura.) (a) Qual é o fluxo elétrico através do disco? (b) Qual é o fluxo elétrico através do disco depois que ele gira e passa a ocupar uma posição perpendicular ao vetor  $\vec{E}$ ? (c) Qual é o fluxo elétrico através do disco quando sua normal é paralela ao vetor  $\vec{E}$ ?



## SOLUÇÃO

**IDENTIFICAR:** este problema trata de uma superfície plana em um campo elétrico uniforme, portanto podemos aplicar os conceitos abordados nesta seção.

**PREPARAR:** a orientação do disco é semelhante à do retângulo na Figura 22.6b. Calculamos o fluxo elétrico usando a Equação (22.1).

**EXECUTAR:** (a) A área é  $A = \pi (0,10\text{ m})^2 = 0,0314\text{ m}^2$  e o ângulo entre  $\vec{E}$  e  $\vec{A} = A\hat{n}$  é  $\Phi = 30^\circ$ , portanto

$$\begin{aligned}\Phi_E &= EA \cos \phi = (2,0 \times 10^3\text{ N/C}) (0,0314\text{ m}^2) (\cos 30^\circ) \\ &= 54\text{ N} \cdot \text{m}^2/\text{C}\end{aligned}$$

(b) A normal ao disco é agora perpendicular a  $\vec{E}$ ; logo,  $\phi = 90^\circ$ ,  $\cos \phi = 0$  e  $\Phi_E = 0$ . Neste caso, não existe nenhum fluxo elétrico através do disco.

(c) A normal ao disco é paralela a  $\vec{E}$ ; logo,  $\phi = 0$ ,  $\cos \phi = 1$  e o fluxo elétrico atinge seu valor máximo. Pela Equação (22.1),

$$\begin{aligned}\Phi_E &= EA \cos \phi = (2,0 \times 10^3\text{ N/C}) (0,0314\text{ m}^2) (1) \\ &= 63\text{ N} \cdot \text{m}^2/\text{C}\end{aligned}$$

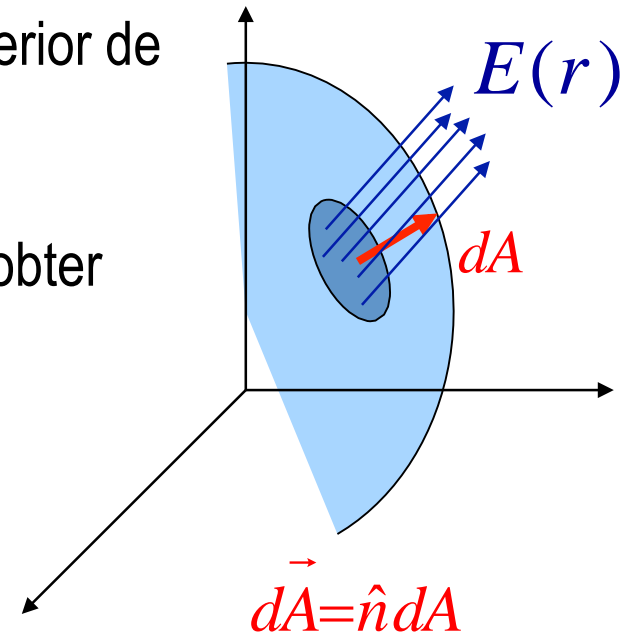
**AVALIAR:** para conferir os resultados obtidos, note que a resposta ao item (a) é menor do que a resposta ao item (c). É assim que deve ser?

# Fluxo de um Campo Elétrico NÃO-Uniforme

- Se o campo elétrico  $\vec{E}$  não é uniforme e a superfície é curva (e aberta), então:
  - ✓ Dividimos A em pequenos elementos de superfície  $dA$ , cada um deles possui um vetor unitário  $\hat{n}$ , perpendicular ao elemento de área  $dA$ , de tal forma que:  $d\vec{A} = \hat{n}dA$ .
  - ✓ Como os elementos são arbitrariamente pequenos, o  $\vec{E}$  pode ser considerado constante no interior de cada um.
  - ✓ Calculamos o fluxo elétrico em cada um dos elementos de área e integramos para obter o fluxo elétrico total por:

$$\Phi_E = \int E \cos\phi \, dA = \int E_{\perp} \, dA = \int \vec{E} \cdot d\vec{A}$$

Integral de superfície de  $\vec{E} \cdot d\vec{A}$





# Fluxo Elétrico e Carga Elétrica

## Michael Faraday (1791-1867)

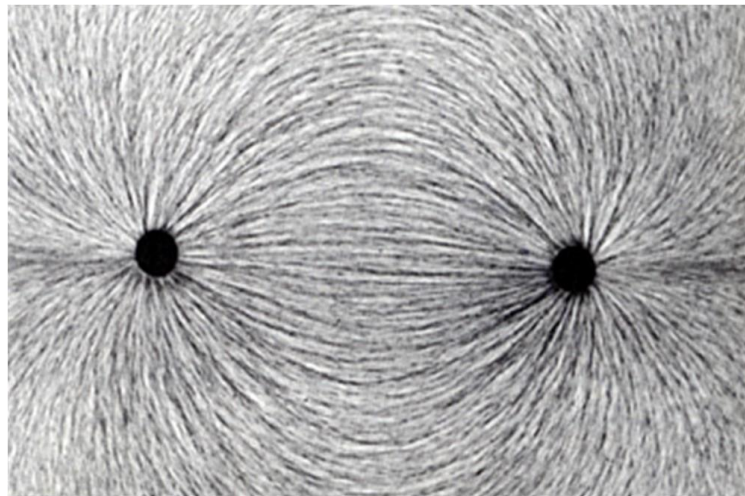
- Autodidata, com apenas educação primária
- Grandes contribuições na química e na física
- Habilidade com experimentos
- Descobriu algumas leis que regem a eletricidade e o magnetismo
- Propôs a representação do campo elétrico através de linhas de força
  - Recusado pelos matemáticos da época
  - Provado posteriormente por Maxwell



# Fluxo Elétrico e Carga Elétrica

## Michael Faraday

- Cargas opostas mergulhadas em óleo com barbantes finos – comprovação da existência das linhas de campo elétrico

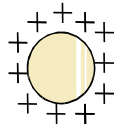


- Como medir este fluxo elétrico?

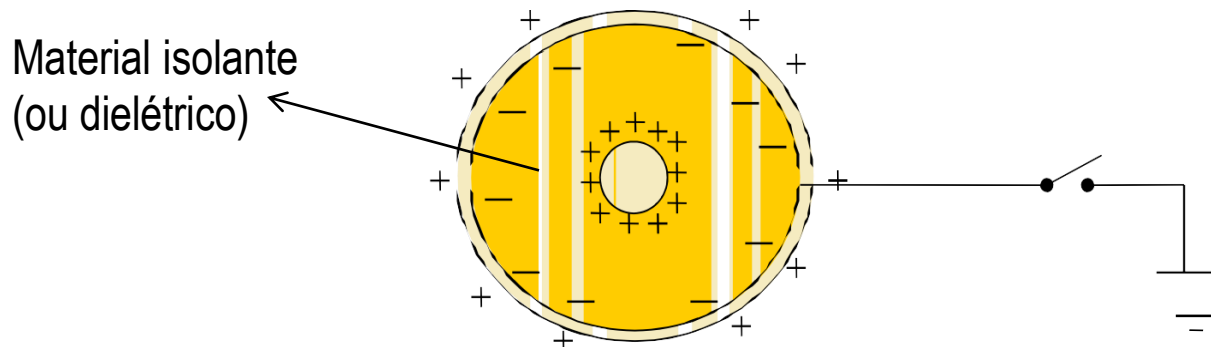
# Fluxo Elétrico e Carga Elétrica

## Experimento de Faraday

- Seja uma esfera metálica com carga  $+Q$



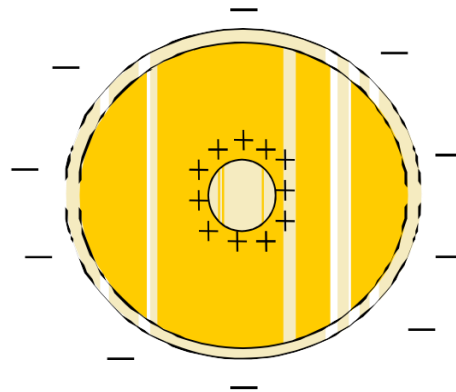
- Colocando esta esfera no interior de outra esfera metálica
  - Carga  $-Q$  induzida na parte interna
  - Carga  $+Q$  induzida na parte externa



# Fluxo Elétrico e Carga Elétrica

## Experimento de Faraday

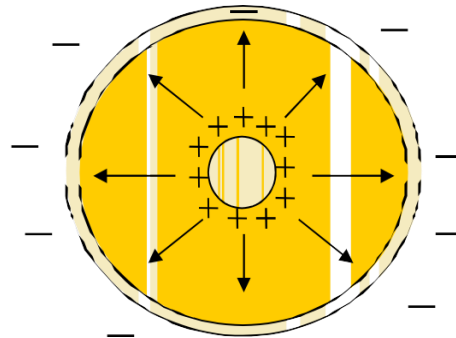
- Ligando a esfera à terra
  - Carga positivas "se deslocarão" para a terra
  - Esfera externa com carga negativa (de magnitude igual à carga original com que a esfera interna era carregada).



# Fluxo Elétrico e Carga Elétrica

## Experimento de Faraday

- Faraday interpretou o fenômeno como um fluxo de deslocamento de cargas da esfera interna para a externa



- Este fluxo é proporcional à carga total (líquida) da esfera interna:

$$\Phi \sim Q$$

- As trajetórias de deslocamento de carga são denominadas linhas de fluxo e são indicadas por linhas de força (campo).

# Linhas de Campo (ou de Força) - Revisão

O conceito de campo elétrico pode parecer um pouco abstrato/ilusório porque não se pode vê-lo diretamente.

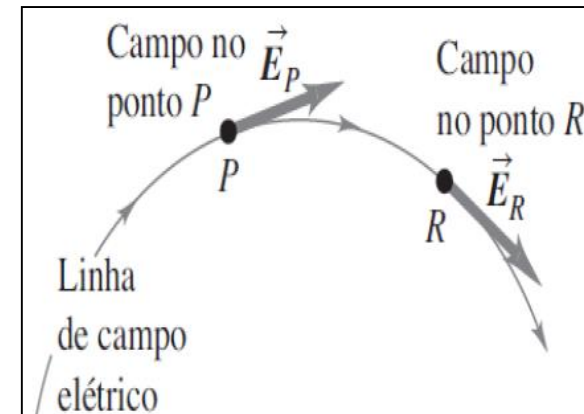
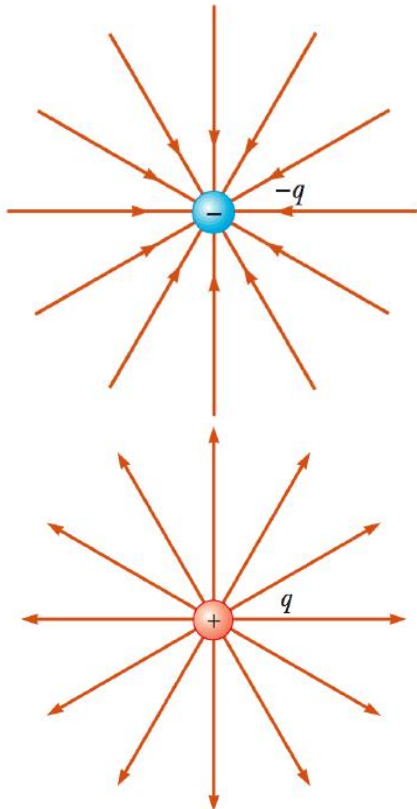
As **linhas de força** são linhas imaginárias a partir das quais pode-se **visualizar a configuração do campo elétrico** de uma dada distribuição de cargas no espaço. Elas são traçadas de forma que:

a) A **tangente** a cada ponto da linha fornece a **direção e o sentido do campo elétrico**;

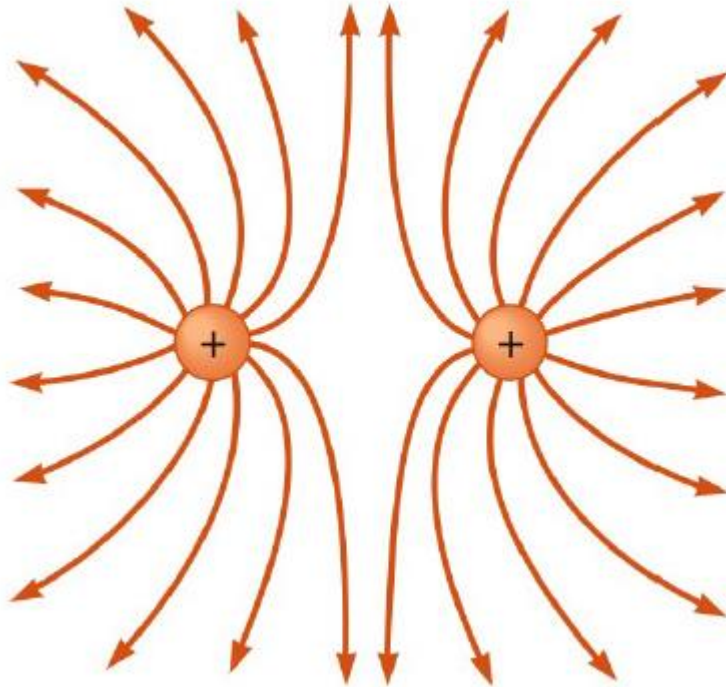
b) O **número de linhas por unidade de área** de uma superfície perpendicular à direção das linhas, ou seja, o **espaçamento entre as linhas**, é proporcional ao **módulo do campo**;

c) As linhas **saem das cargas positivas e chegam nas cargas negativas**.

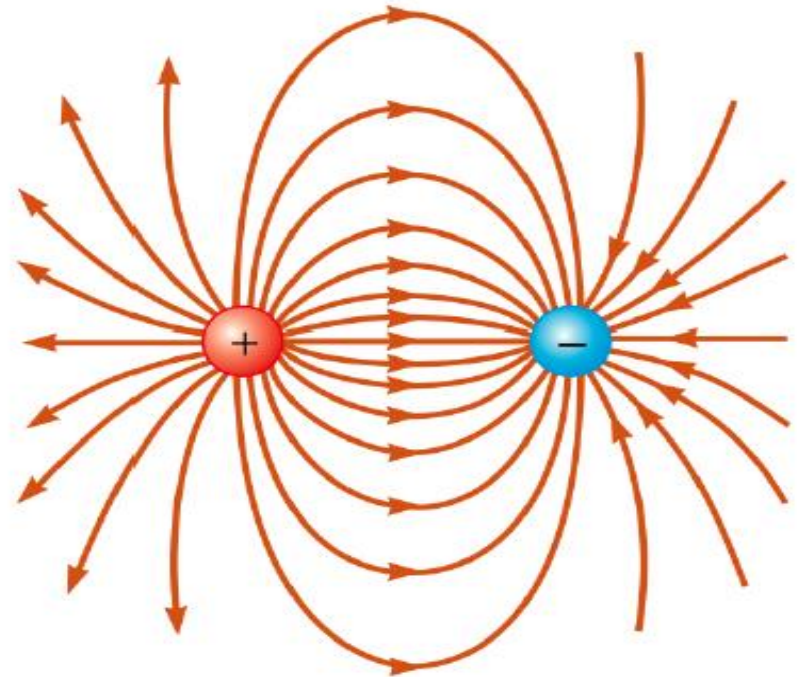
➡ **Duas linhas de campo nunca se cruzam.**



# Linhas de Campo (ou de Força) - Revisão



Duas Cargas Iguais



Dipolo Elétrico

# Fluxo Elétrico e Carga Elétrica

- No capítulo anterior...
- Perguntamos: Qual é o campo elétrico produzido por uma dada distribuição de cargas em um ponto  $P$  do espaço?
- Se invertermos a pergunta temos:
- Caso você saiba a configuração de campos elétricos em uma dada região, o que poderíamos afirmar sobre a distribuição de cargas nessa região?



# Fluxo Elétrico e Carga Elétrica

**Superfície fechada(imaginária):** engloba completamente um dado volume, não produz nenhum efeito sobre qualquer campo elétrico.

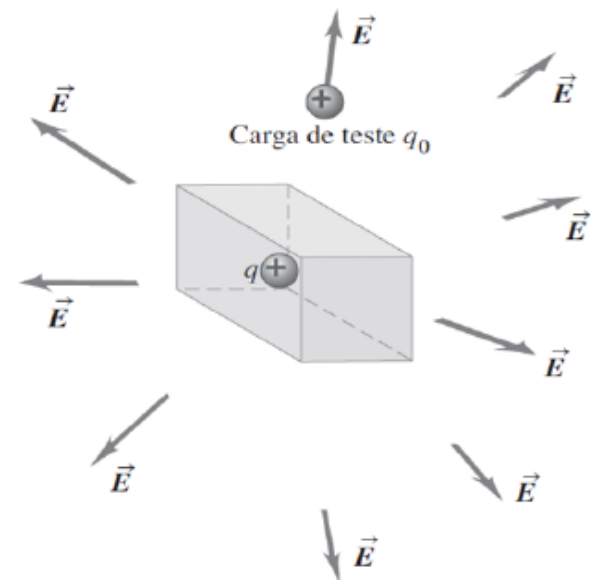
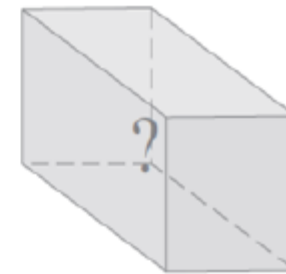
Como você pode determinar a quantidade de carga(caso haja) existente no interior da caixa?

Medindo a força  $\vec{F}$  exercida sobre uma carga de teste  $q_0$ , você faz um mapa tridimensional do campo  $\vec{E} = \vec{F}/q_0$  existente no **exterior** da caixa.

Examinando os detalhes do mapa, você poderá calcular o valor exato da carga existente no interior da caixa.

Para determinar o conteúdo da caixa, basta, na verdade medir  $\vec{E}$  sobre a superfície da caixa.

Uma caixa com uma quantidade de carga desconhecida



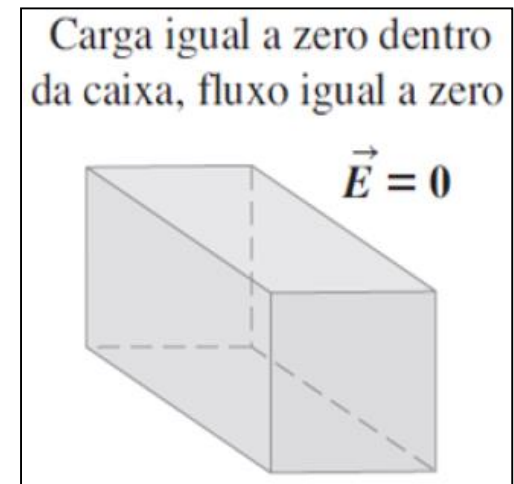
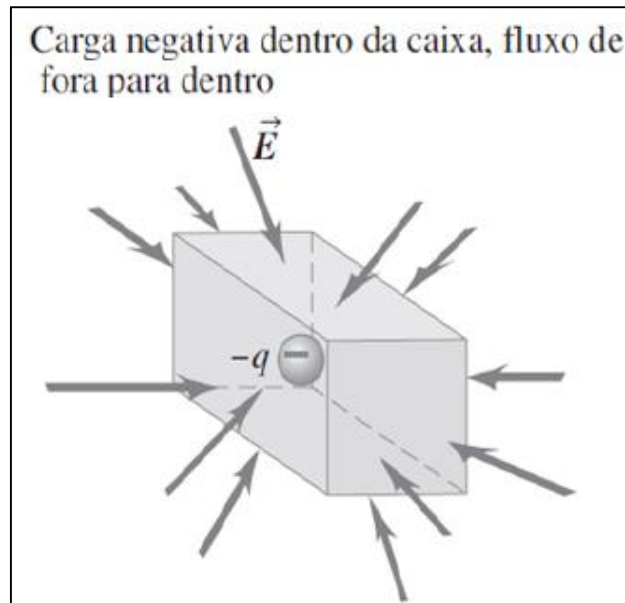
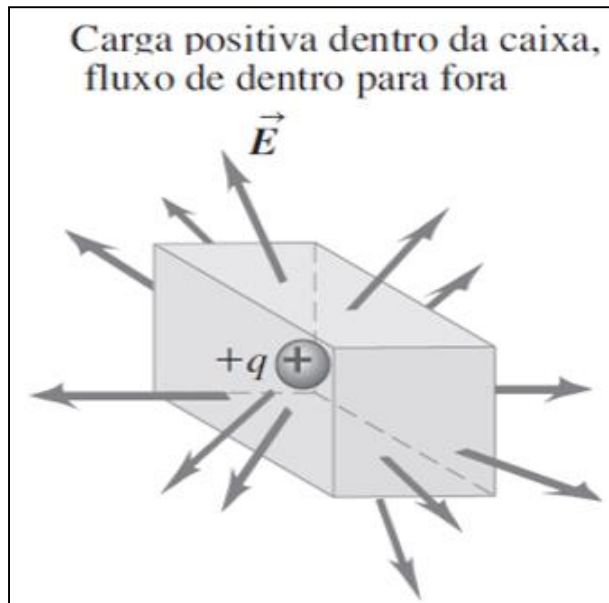
# Fluxo Elétrico e Carga Elétrica

1) O sinal da carga existente no interior de uma superfície fechada determina se o fluxo está entrando ou saindo da superfície considerada.

(Se  $q > 0$  /  $\vec{E}, \vec{D}$  aponta para fora  $\leftrightarrow$  fluxo elétrico sai da superfície)  $\rightarrow \Phi_E > 0$

(Se  $q < 0$  /  $\vec{E}, \vec{D}$  aponta para dentro  $\leftrightarrow$  fluxo elétrico entra na superfície)  $\rightarrow \Phi_E < 0$

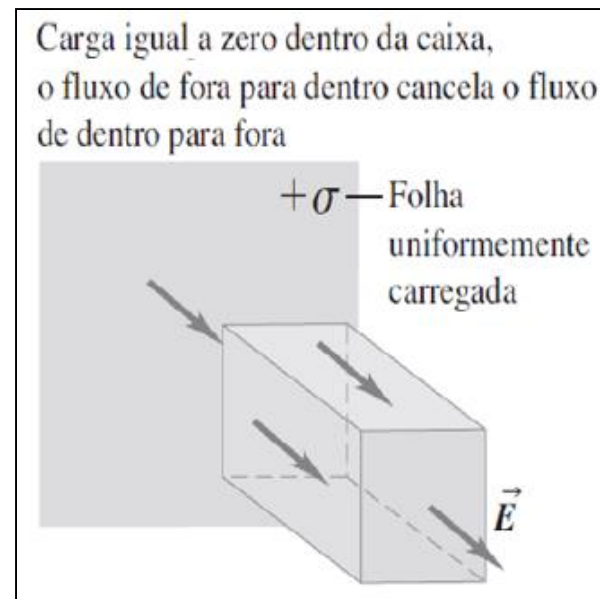
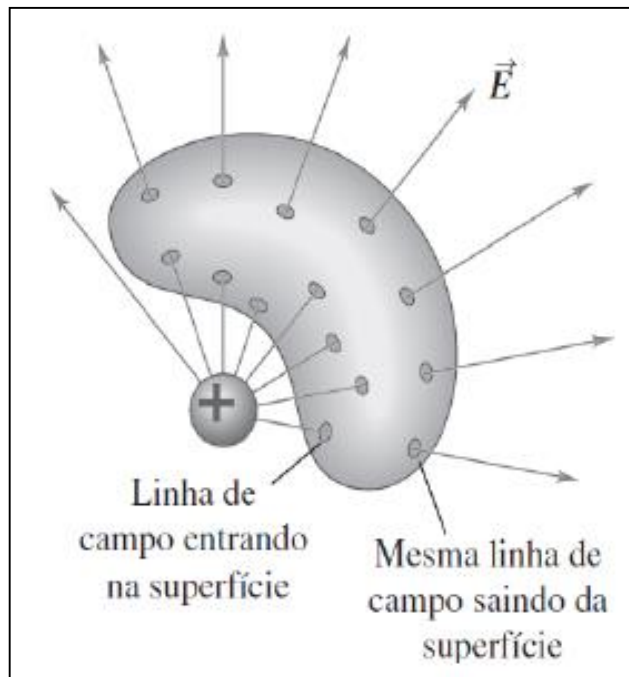
(Se  $q = 0$  no interior da superfície)  $\rightarrow \Phi_E = 0$



# Fluxo Elétrico e Carga Elétrica

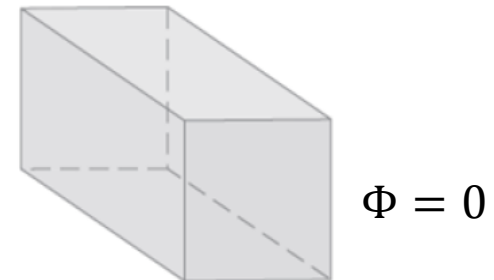
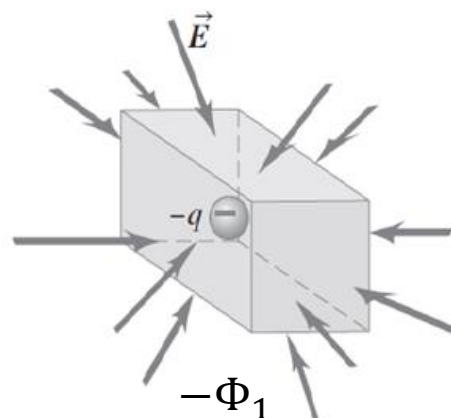
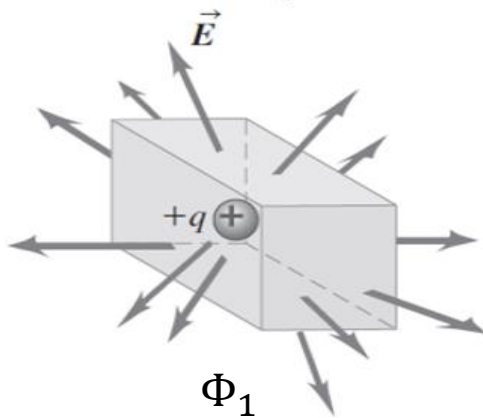
**2)** Cargas no exterior da superfície fechada não fornecem fluxo líquido através da superfície.

*Quaisquer linhas de campo produzidas por estas cargas que entram na superfície em um dado ponto devem sair da superfície em outro ponto.*

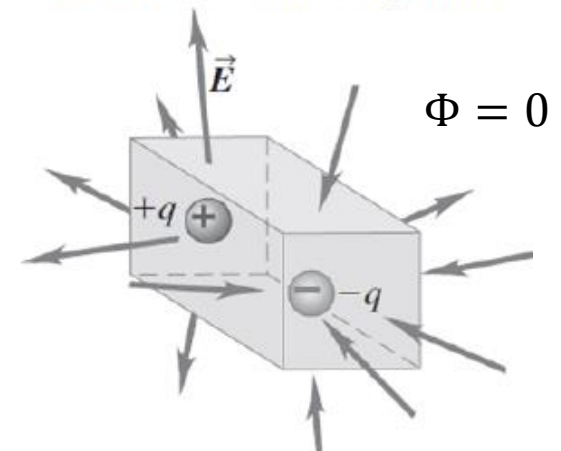
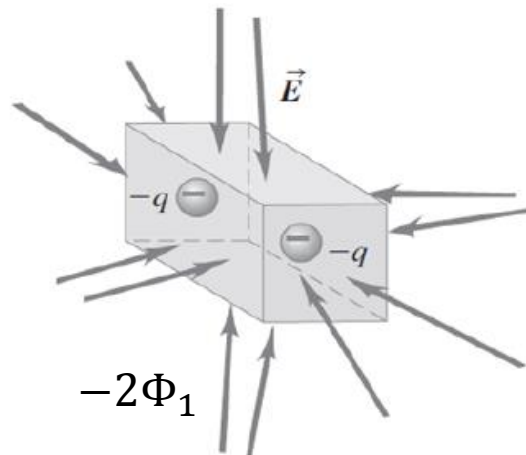
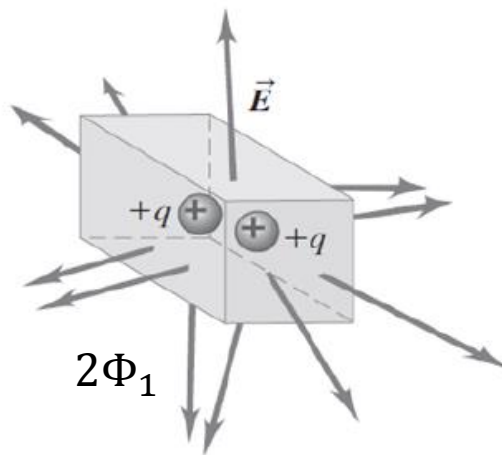


# Fluxo Elétrico e Carga Elétrica

**3.1)** O fluxo elétrico é diretamente proporcional à carga líquida existente no interior da superfície fechada.



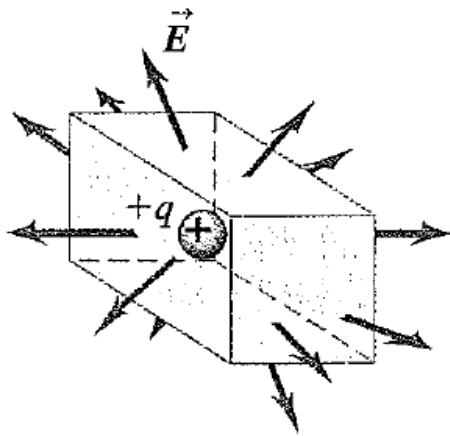
Carga líquida igual a zero dentro da caixa, o fluxo de fora para dentro cancela o fluxo de dentro pra fora



# Fluxo Elétrico e Carga Elétrica

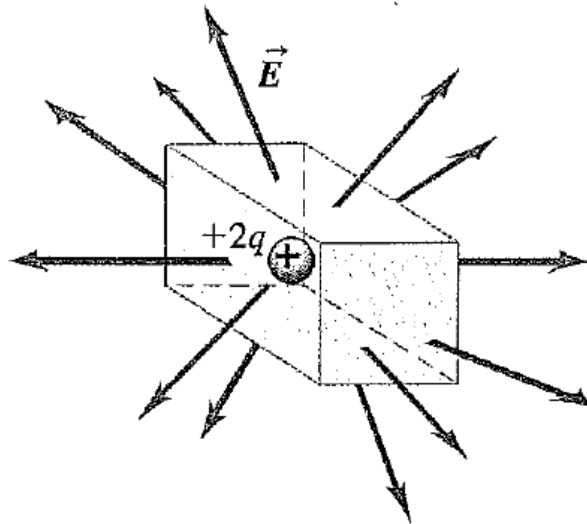
## 3.2) O fluxo elétrico não depende do tamanho da superfície escolhida.

(a) Uma caixa contendo uma carga



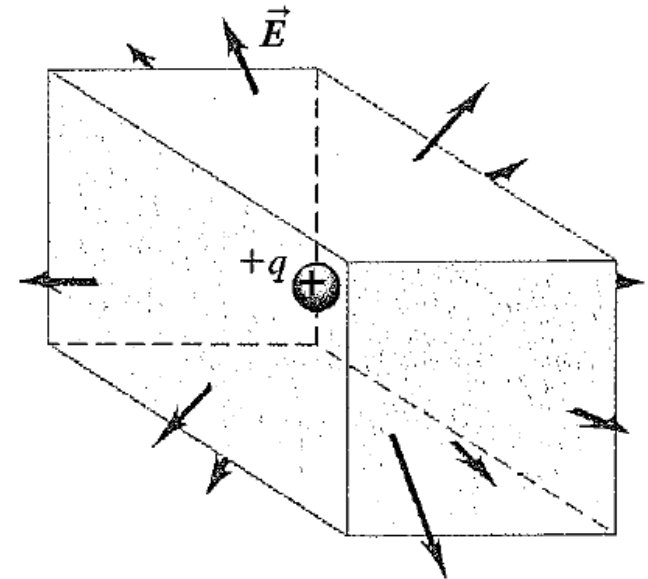
$E_1, A_1, \Phi_1$

(b) Duplicar a carga englobada equivale a duplicar o fluxo



$> q, > E, > \Phi$   
 $q_2 = 2q_1 \rightarrow \Phi_2 = 2 \Phi_1$

(c) Duplicar as dimensões da caixa não altera o fluxo



$> A, < E, \text{ mantém } \Phi$   
 $A_3 = 4A_1$  (dobro dimensões)  
 $E_3 = (1/4) E_1$

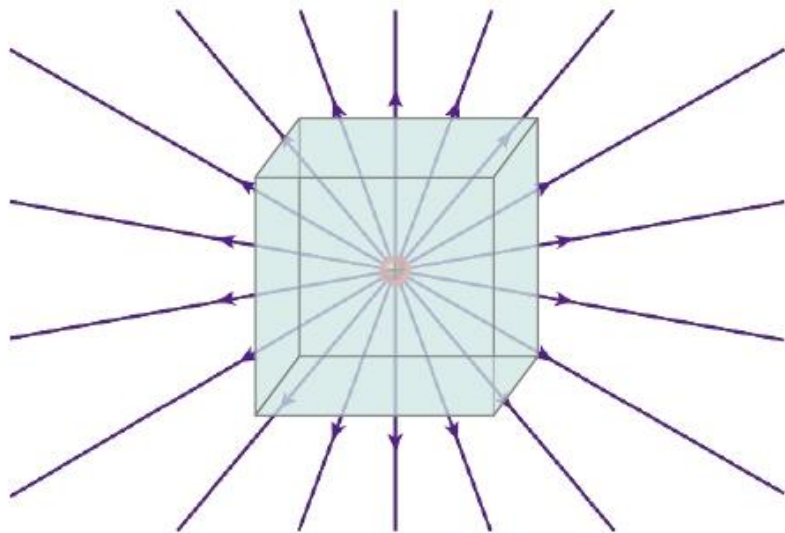
# Lei de Gauss

---

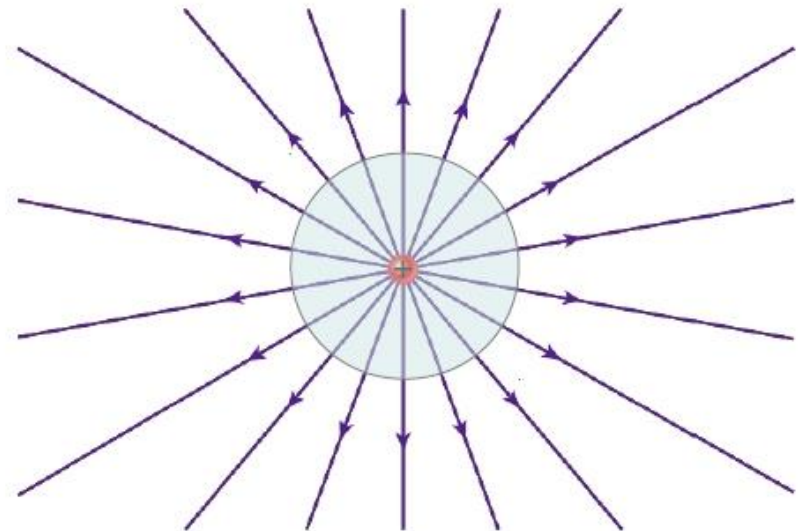
- Uma ferramenta importante para simplificar um problema é a utilização de propriedades de **simetria**.
- A lei de Gauss usa considerações de **simetria** para a determinação de campos elétricos.
- A **Lei de Gauss** relaciona a carga total existente no interior de uma superfície imaginária fechada com o campo elétrico (densidade de fluxo) de todos os pontos sobre esta superfície.

# Lei de Gauss

A Lei de Gauss pode ser aplicada a qualquer problema, rico ou pobre de simetrias. No entanto é em problemas com alta simetria que ela se mostra eficiente.



Simetria não explorada.



Simetria esférica bem explorada.



# Lei de Gauss

- Para uma **superfície fechada**, todos os vetores  $d\vec{A}$  sempre são **perpendiculares à superfície gaussiana** e apontam para fora da superfície.
- A Forma Geral da Lei de Gauss afirma que “o **fluxo elétrico total** que atravessa qualquer **superfície fechada** é proporcional à **carga elétrica total** (líquida) existente no interior da superfície fechada”.

$$\Phi_E = \oint \vec{E} \cdot d\vec{A} = \frac{Q_{inter}}{\epsilon_0}$$

Integral de superfície fechada de  $\vec{E} \cdot d\vec{A}$

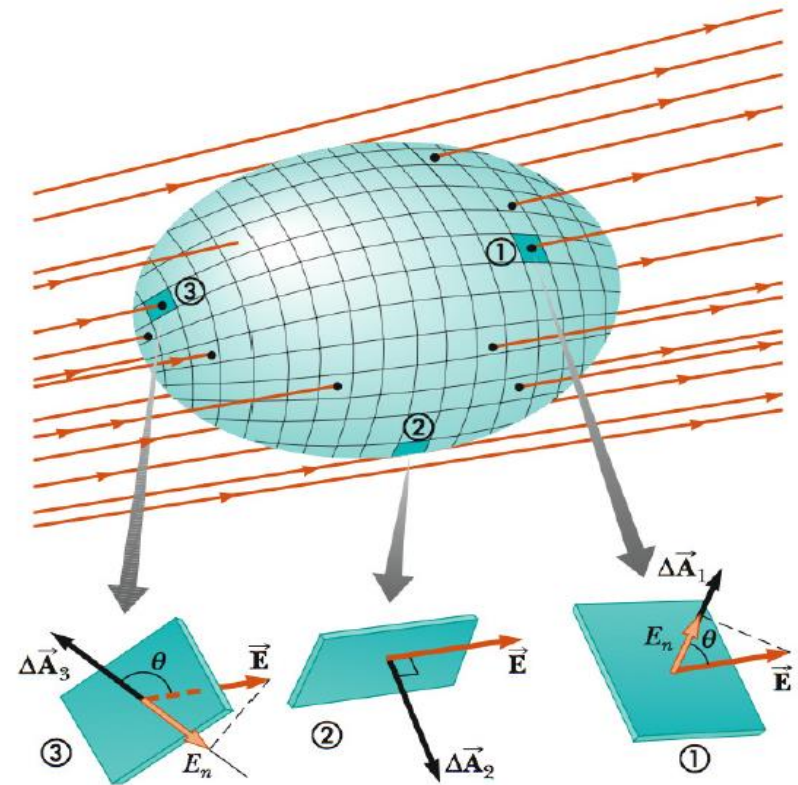


Figura 2.3: Fluxo elétrico através da superfície A. O fluxo é positivo, zero e negativo nos pontos 1, 2 e 3 respectivamente, de acordo com o ângulo  $\theta$ .

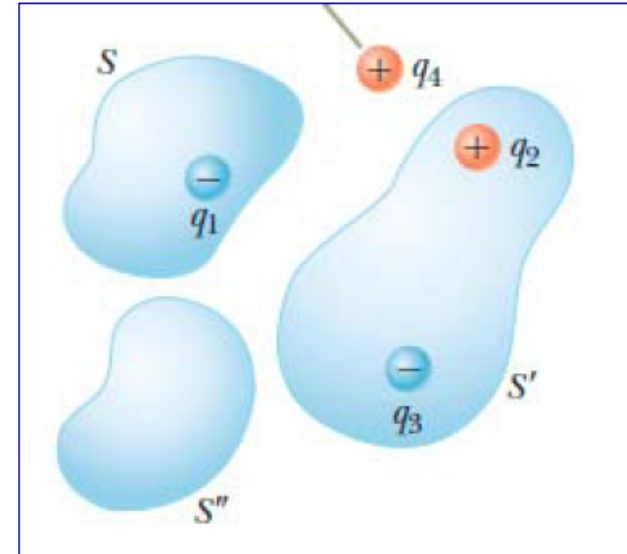


# Lei de Gauss

## Lei de Gauss

- Relaciona o **campo elétrico** em uma superfície gaussiana à **carga elétrica contida** no interior dela
- Independente da forma da superfície gaussiana

$$\Rightarrow \oint \vec{E} \cdot d\vec{A} = \frac{q_{int}}{\epsilon_0}$$



- $q_{int}$   $\Rightarrow$  Carga total **dentro** da superfície gaussiana
- $dA$   $\Rightarrow$  Sempre **saindo** da superfície gaussiana
- $\vec{E}$   $\Rightarrow$  Campo elétrico **na superfície** gaussiana
  - Pode ser criado por cargas **dentro** e **fora** da superfície

# Lei de Gauss

Suponha que, no interior da superfície fechada, exista não apenas uma carga puntiforme, mas diversas cargas  $q_1, q_2, q_3, \dots$ . O campo elétrico total (resultante)  $\vec{E}$  em qualquer ponto é dado pela soma vetorial do campo elétrico oriundo da ação de cada carga individual.

$$\text{Então } Q_{inter} = q_1 + q_2 + q_3 + \dots \text{ (soma algébrica)}$$

**ATENÇÃO** As superfícies gaussianas são imaginárias. Lembre-se de que a superfície fechada na lei de Gauss é *imaginária*. Não é necessário nenhum objeto material na posição da superfície. Frequentemente, nos referimos à superfície fechada usada na lei de Gauss como uma **superfície gaussiana**.

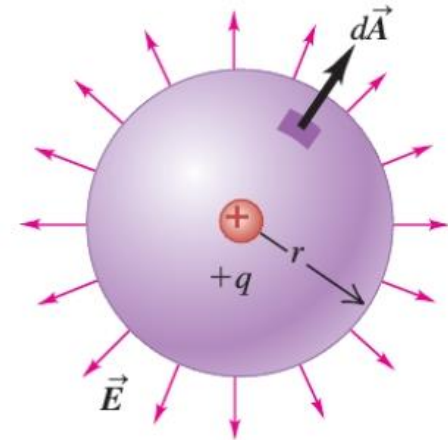
# Exemplo: Lei de Gauss

Superfície esférica com raio  $r$  em torno de uma carga  $+q$ .

$$\Phi_E = \oint E_{\perp} dA = \oint \frac{q}{4\pi\epsilon_0 r^2} dA$$

$$\Phi_E = \frac{q}{4\pi\epsilon_0 r^2} \oint dA = \frac{q}{4\pi\epsilon_0 r^2} 4\pi r^2 = \frac{q}{\epsilon_0}$$

Superfície gaussiana em torno de uma carga positiva: fluxo positivo (para fora)

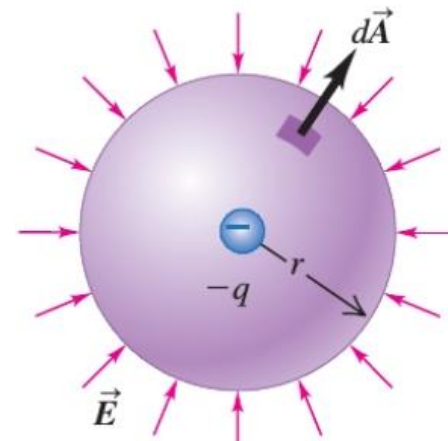


Superfície esférica com raio  $r$  em torno de uma carga  $-q$ .

$$\Phi_E = \oint E_{\perp} dA = \oint \left( \frac{-q}{4\pi\epsilon_0 r^2} \right) dA$$

$$\Phi_E = \frac{-q}{4\pi\epsilon_0 r^2} \oint dA = \frac{-q}{4\pi\epsilon_0 r^2} 4\pi r^2 = \frac{-q}{\epsilon_0}$$

Superfície gaussiana em torno de uma carga negativa: fluxo positivo (para dentro)



# Exemplo: Lei de Gauss

Superfície qualquer sem carga no interior.

$$\Phi_E = \oint \vec{E} \cdot d\vec{A} = 0$$

Determine o fluxo elétrico através das superfícies fechadas A, B, C e D.

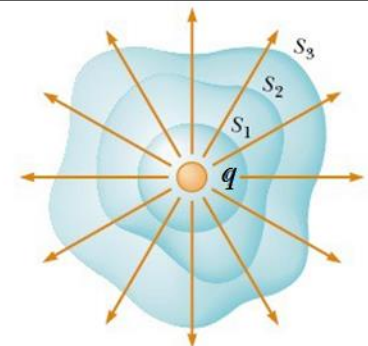
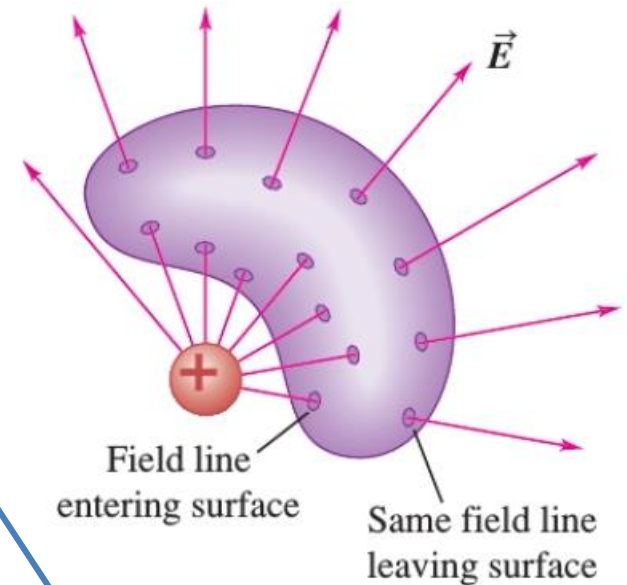
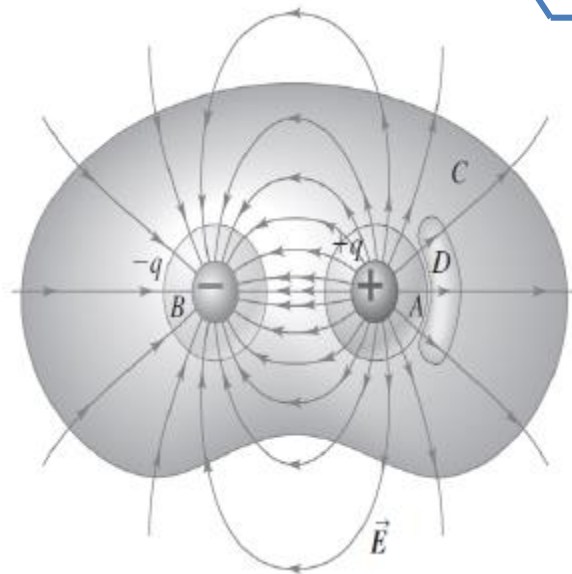
$$\Phi_E = \oint \vec{E} \cdot d\vec{A} = \frac{Q_{inter}}{\epsilon_0}$$

$$\Phi_E^A = \frac{q}{\epsilon_0}$$

$$\Phi_E^B = \frac{-q}{\epsilon_0}$$

$$\Phi_E^C = 0$$

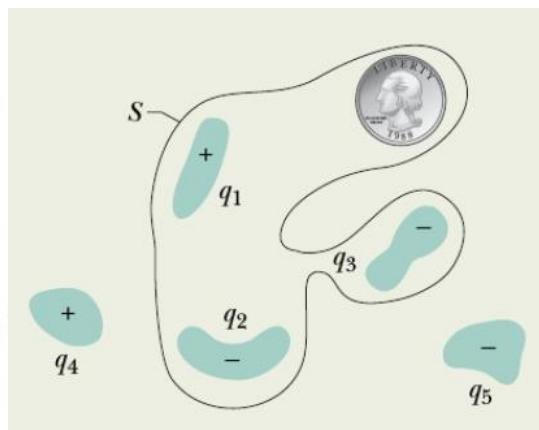
$$\Phi_E^D = 0$$



Superfícies fechadas de vários formatos envolvendo uma carga  $q$ . O fluxo através de todas as superfícies é o mesmo.

# Exemplo: Lei de Gauss

A Figura 23-7 mostra cinco pedaços de plástico eletricamente carregados e uma moeda neutra. A figura mostra também uma superfície gaussiana  $S$  vista de perfil. Qual é o fluxo elétrico que atravessa a superfície  $S$  se  $q_1 = q_4 = +3,1 \text{ nC}$ ,  $q_2 = q_5 = -5,9 \text{ nC}$  e  $q_3 = -3,1 \text{ nC}$ ?



**FIG. 23-7** Cinco pedaços de plástico eletricamente carregados e uma moeda neutra. Uma superfície gaussiana, vista de perfil, envolve três dos pedaços de plástico e a moeda.

## IDÉIA-CHAVE

O fluxo *total*  $\Phi$  que atravessa a superfície  $S$  depende da carga *total*  $q_{\text{env}}$  envolvida pela superfície.

**Cálculo:** A moeda não contribui para  $\Phi$  porque é neutra e, portanto, contém quantidades iguais de cargas positivas e negativas. As cargas  $q_4$  e  $q_5$  não contribuem porque estão do lado de fora da superfície  $S$ . Assim,  $q_{\text{env}}$  é igual a  $q_1 + q_2 + q_3$ , e a Eq. 23-6 nos dá

$$\begin{aligned}\Phi &= \frac{q_{\text{env}}}{\epsilon_0} = \frac{q_1 + q_2 + q_3}{\epsilon_0} \\ &= \frac{+3,1 \times 10^{-9} \text{ C} - 5,9 \times 10^{-9} \text{ C} - 3,1 \times 10^{-9} \text{ C}}{8,85 \times 10^{-12} \text{ C}^2/\text{N} \cdot \text{m}^2} \\ &= -670 \text{ N} \cdot \text{m}^2/\text{C}. \quad (\text{Resposta})\end{aligned}$$

O sinal negativo indica que o fluxo total que atravessa a superfície é para dentro e, portanto, a carga total envolvida pela superfície é negativa.



# Exemplo: Lei de Gauss

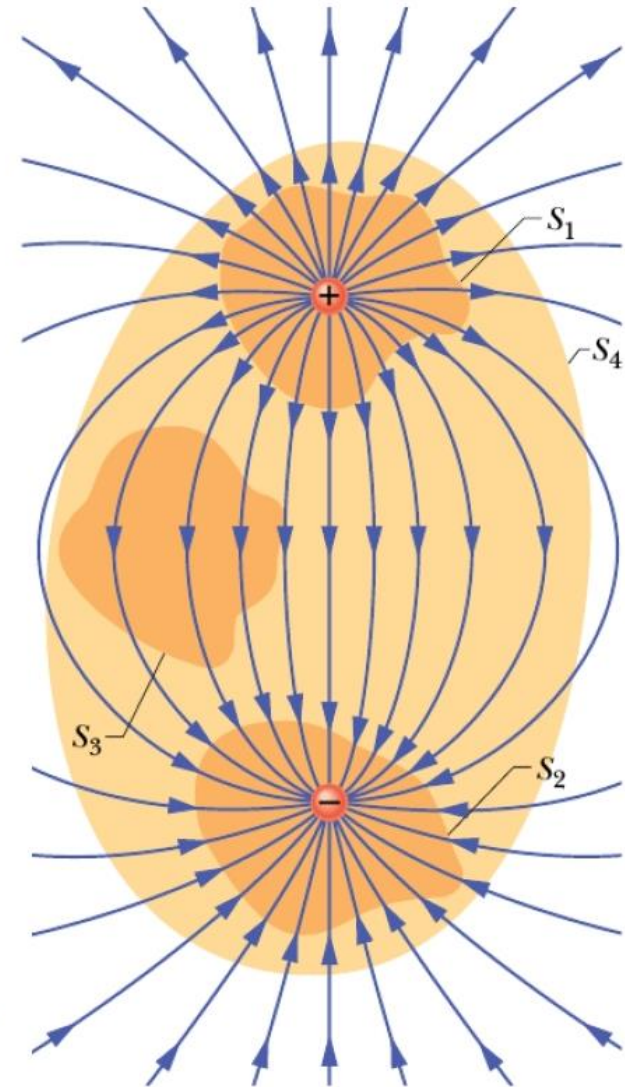
**Superfície  $S_1$ .** O campo elétrico aponta para fora em todos os pontos da superfície; assim, o fluxo do campo elétrico através da superfície é positivo e, de acordo com a lei de Gauss, a carga envolvida pela superfície também é positiva. (Em outras palavras, se  $\Phi$  é positivo na Eq. 23-6,  $q_{\text{env}}$  também deve ser positiva.)

**Superfície  $S_2$ .** O campo elétrico aponta para dentro em todos os pontos da superfície; assim, o fluxo do campo elétrico é negativo e, portanto, de acordo com a lei de Gauss, a carga envolvida também é negativa.

**Superfície  $S_3$ .** De acordo com a lei de Gauss, como a superfície não envolve nenhuma carga o fluxo do campo elétrico através da superfície é nulo. Isso é razoável, já que todas as linhas de campo que entram na superfície pela parte de cima saem pela parte de baixo.

**Superfície  $S_4$ .** A carga *total* envolvida pela superfície é nula, já que as cargas positiva e negativa envolvidas pela superfície têm o mesmo valor absoluto. Assim, de acordo com a lei de Gauss o fluxo do campo elétrico através dessa superfície deve ser zero. Isso é razoável, já que o número de linhas de campo que entram na superfície pela parte de baixo é igual ao número de linhas de campo que saem pela parte de cima.

O que aconteceria se colocássemos uma carga gigantesca  $Q$  nas proximidades da superfície  $S_4$  da Fig. 23-6? A configuração de linhas de campo certamente seria modificada, mas o fluxo total através das quatro superfícies gaussianas continuaria o mesmo. Isso é uma consequência do fato de que todas as linhas de campo produzidas pela carga  $Q$  atravessariam totalmente as quatro superfícies gaussianas sem contribuir para o fluxo total. O valor de  $Q$  não apareceria de nenhuma forma na lei de Gauss, já que  $Q$  estaria do lado de fora das quatro superfícies gaussianas que estamos discutindo.



# Lei de Gauss

Forma Geral da Lei de Gauss (em termos do campo elétrico):

$$\Phi_E = \oint \vec{E} \cdot d\vec{A} = \oint E dA \cos\phi = \frac{Q_{int}}{\epsilon_0} = \frac{1}{\epsilon_0} \int_V \rho dV = \frac{1}{\epsilon_0} \int_A \sigma dA = \frac{1}{\epsilon_0} \int_L \lambda dL$$

Refere-se à SUPERFÍCIE  
GAUSSIANA

Refere-se à  
DISTRIBUIÇÃO DE  
CARGAS

# Lei de Gauss

Forma Geral da Lei de Gauss (em termos da densidade de fluxo):

$$\Phi_E = \oint (\epsilon_o \vec{E}) \cdot d\vec{A} = \oint (\vec{D}) \cdot d\vec{A} = Q_{int} = \int_V \rho dV = \int_A \sigma dA = \int_L \lambda dL$$

Refere-se à SUPERFÍCIE  
GAUSSIANA

Refere-se à  
DISTRIBUIÇÃO DE  
CARGAS



# Lei de Gauss

---

- Lembra daquelas perguntas no início do capítulo ???
- Qual é o campo elétrico produzido por uma dada distribuição de cargas em um ponto  $P$  do espaço?
- Caso você saiba a configuração de campos elétricos em uma dada região, o que poderíamos afirmar sobre a distribuição de cargas nessa região?

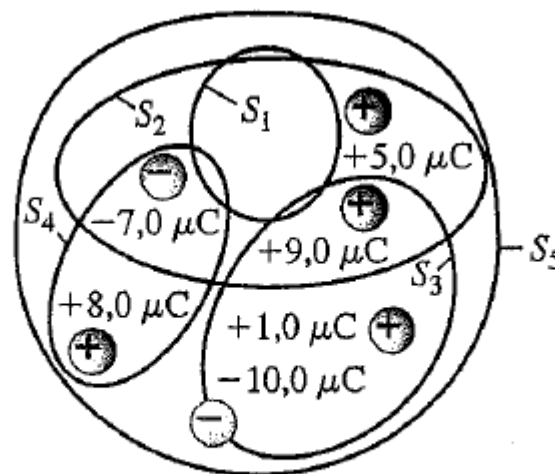
# Lei de Gauss

---

- A Lei de Gauss é válida para *qualquer* **distribuição de cargas** e para *qualquer* **superfície fechada**.
- Quando conhecemos a distribuição de cargas, usando a Lei de Gauss, obtemos o campo elétrico;
- Quando conhecemos o campo elétrico, usando a Lei de Gauss, podemos determinar a distribuição de cargas.

## Exemplo: Lei de Gauss

**Teste sua compreensão da Seção 22.3** A Figura 22.16 mostra seis cargas puntiformes, todas elas localizadas no mesmo plano. Cinco superfícies gaussianas –  $S_1$ ,  $S_2$ ,  $S_3$ ,  $S_4$  e  $S_5$  – englobam cada qual uma parte desse plano, e a Figura 22.16 mostra a intersecção de cada superfície com o plano. Classifique essas cinco superfícies por ordem do fluxo elétrico que as atravessa, desde o mais positivo até o mais negativo. ■



**Figura 22.16** Cinco superfícies gaussianas e seis cargas puntiformes.

# Aplicações da Lei de Gauss

A lei de Gauss é *geral*, mas a sua *utilidade* no cálculo do campo elétrico criado por uma distribuição de cargas depende da *simetria* desta distribuição.

## 1) Carga puntiforme (ou pontual): simetria esférica

✓ Gaussiana: superfície esférica de raio  $r$  em torno de  $q$

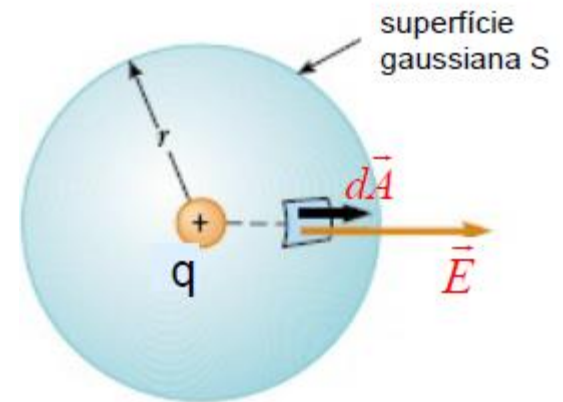
$$\text{Nos pontos de } S: \begin{cases} \vec{E} \text{ paralelo a } d\vec{A} \\ |\vec{E}| = \text{uniforme} \end{cases}$$

$$\frac{q}{\epsilon_0} = \oint_{\text{esfera}} \vec{E} \cdot d\vec{A} = \oint_{\text{esfera}} E dA \cos(0^\circ)$$

$$\frac{q}{\epsilon_0} = E (4\pi r^2)$$

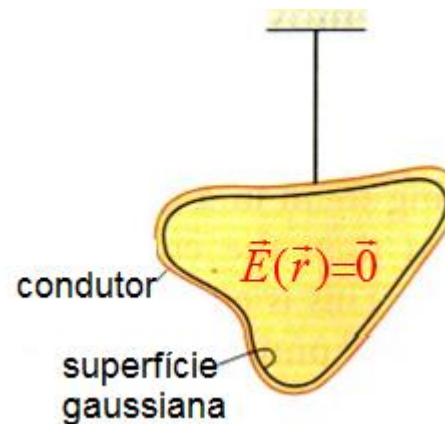
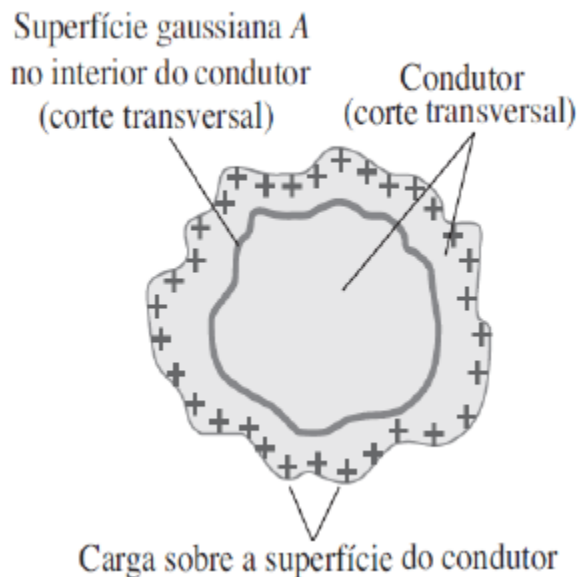
$$\boxed{\vec{E} = \frac{q}{4\pi\epsilon_0 r^2} \hat{r}}$$

(Campo elétrico  $\vec{E}$  produzido por uma carga puntiforme  $q$ )



# Cargas em Condutores

- O campo elétrico no interior de um condutor em **equilíbrio eletrostático** é sempre nulo. Assim sendo, a lei de Gauss nos permite demonstrar que, nesta situação, **todo o excesso de carga no condutor deverá ficar inteiramente localizado sobre a sua superfície** e não no interior do material.
- Veremos posteriormente o caso quando há uma **cavidade** no interior do condutor.



No equilíbrio eletrostático,  $\vec{E} = 0$  em qualquer ponto do interior de um condutor sem buracos; caso contrário, as cargas estariam em movimento.

# Aplicações da Lei de Gauss

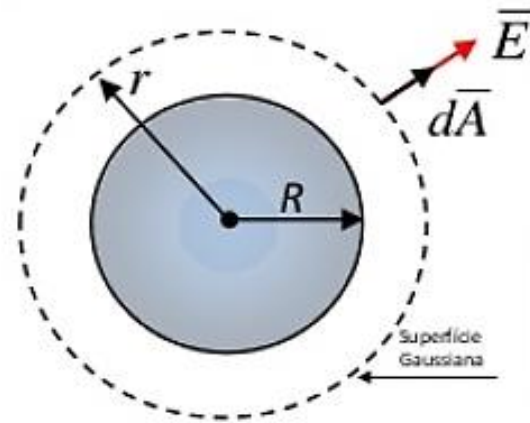
## 2) Campo de uma esfera condutora carregada com carga $q$

a.1)  $r \geq R$  (fora)

$$\Phi_E = \oint \vec{E} \cdot d\vec{A} = \frac{Q_{inter}}{\epsilon_0}$$

$$E(4\pi r^2) = \frac{q}{\epsilon_0}$$

$$E(r) = \frac{q}{4\pi\epsilon_0 r^2}$$



(Campo elétrico  $\vec{E}$  no **exterior** de uma **esfera condutora carregada** em função de  $q$ )

a.2)  $r = R$  (na superfície)

Para  $r = R$ :

$$E(R) = \frac{q}{4\pi\epsilon_0 R^2}$$

(Campo elétrico  $\vec{E}$  na superfície de uma **esfera condutora carregada** em função de  $q$ )

# Aplicações da Lei de Gauss

## 2) Campo de uma esfera condutora carregada com carga $q$

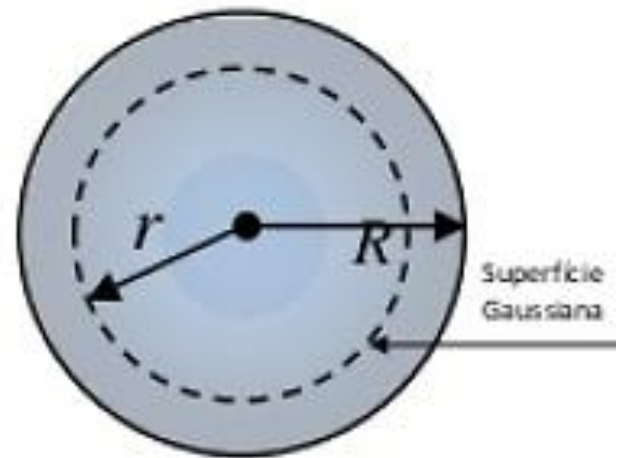
b)  $r < R$  (dentro)

$$\Phi_E = \oint \vec{E} \cdot d\vec{A} = \frac{Q_{inter}}{\epsilon_0}$$

$$E(4\pi r^2) = \frac{1}{\epsilon_0} (0)$$

$$E = 0$$

(Campo elétrico  $\vec{E}$  no **interior** de uma **esfera condutora carregada** em função de  $q$ )



# Aplicações da Lei de Gauss

## 2) Campo de uma esfera condutora carregada com carga $q$ (RESUMO e ANÁLISE GRÁFICA)

$$\Phi_E = \oint \vec{E} \cdot d\vec{A} = \frac{Q_{inter}}{\epsilon_0}$$

Para  $r > R$ :

$$E(4\pi r^2) = \frac{q}{\epsilon_0}$$

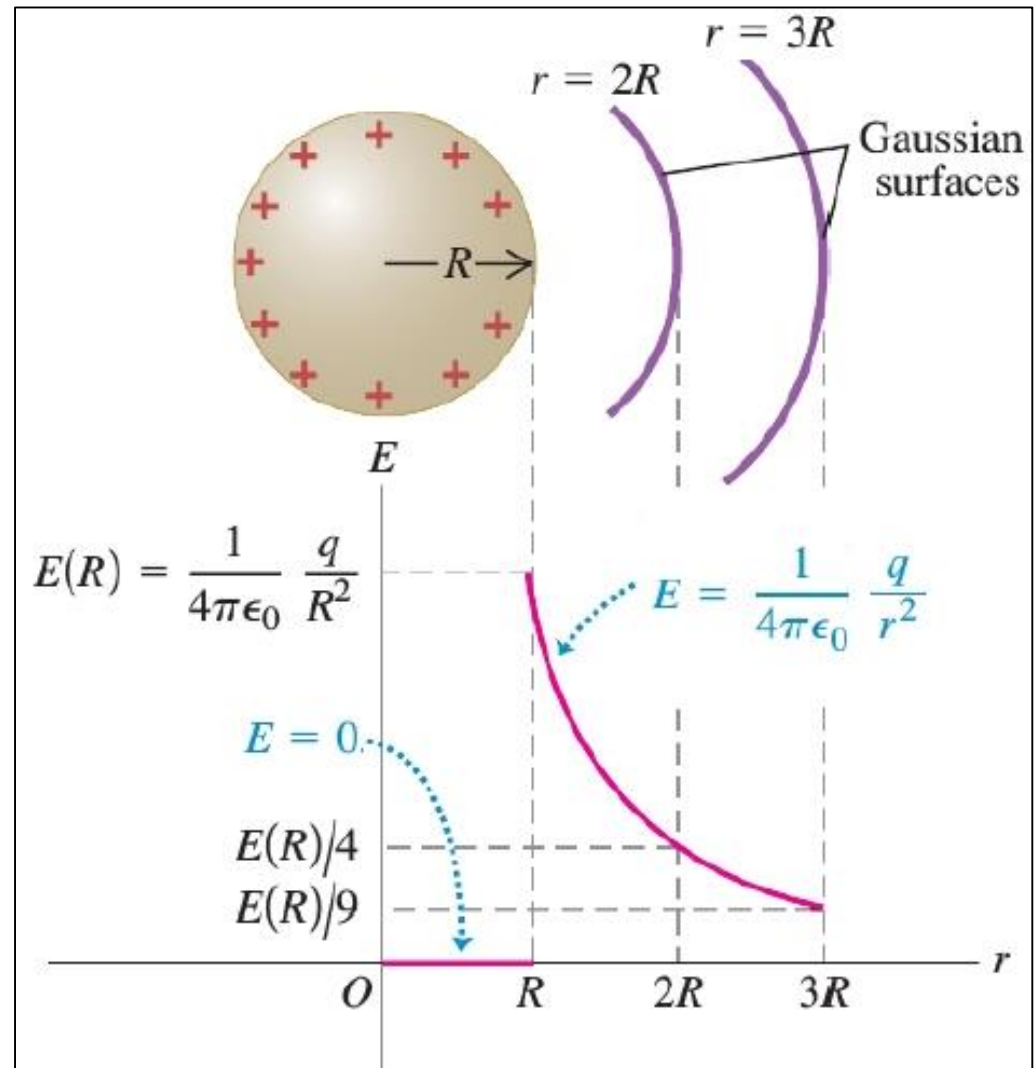
$$E(r) = \frac{q}{4\pi\epsilon_0 r^2}$$

Para  $r = R$ :

$$E(R) = \frac{q}{4\pi\epsilon_0 R^2}$$

Para  $r < R$ :

$$E = 0$$





# Aplicações da Lei de Gauss

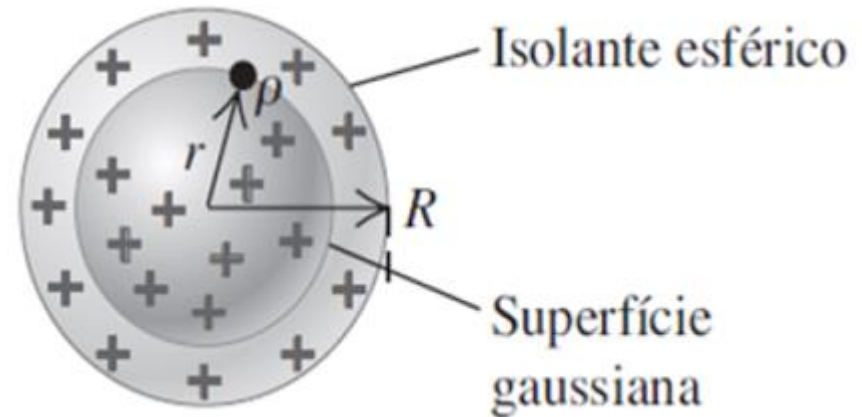
## 3) Esfera Isolante Uniformemente Carregada

Uma carga  $Q$  positiva é **distribuída uniformemente** ao longo do **volume** de uma esfera **isolante** de raio  $R$  e densidade volumétrica  $\rho$ .

Determinar o módulo de  $\vec{E}$  em um ponto  $P$  a uma distância  $r$  do centro da esfera.

Solução:

- Sistema possui simetria esférica;
- Sup. Gaussiana: esfera concêntrica à distribuição de cargas, com raio  $r$ .
- Pela simetria,  $|\vec{E}|$  é o mesmo em todos os pontos sobre a superfície gaussiana e a direção de  $\vec{E}$  é radial em todos os pontos da superfície.



# Aplicações da Lei de Gauss

a)  $r \geq R$   $\Phi_E = \oint \vec{E} \cdot d\vec{A} = \frac{Q_{inter}}{\epsilon_0}$

$$E(4\pi r^2) = \frac{Q}{\epsilon_0} \rightarrow \boxed{E(r) = \frac{Q}{4\pi\epsilon_0 r^2}}$$

(Campo elétrico  $\vec{E}$  no **exterior** de uma **esfera isolante** / **uniformemente carregada** em função de Q)

$$E(4\pi r^2) = \frac{1}{\epsilon_0} \int_V \rho dV = \frac{1}{\epsilon_0} \int_0^r \rho dV;$$

$$\int_0^r \rho dV = \int_0^R \rho dV + \int_R^r 0 dV = \rho \int_0^R dV$$

**Dica!!** Tome a seguinte relação:  $dV = 4\pi r^2 dr$

$$\rho \int_0^R dV = \rho \int_0^R 4\pi r^2 dr$$

$$E(4\pi r^2) = \frac{\rho}{\epsilon_0} \left( \frac{4}{3} \pi R^3 \right)$$

$$E(4\pi r^2) = \frac{\rho}{\epsilon_0} \left( \frac{4}{3} \pi R^3 \right)$$

$$\rightarrow \boxed{E(r) = \frac{\rho R^3}{3\epsilon_0 r^2}}$$

(Campo elétrico  $\vec{E}$  no **exterior** de uma **esfera isolante** / **uniformemente carregada** em função de  $\rho$ )

# Aplicações da Lei de Gauss

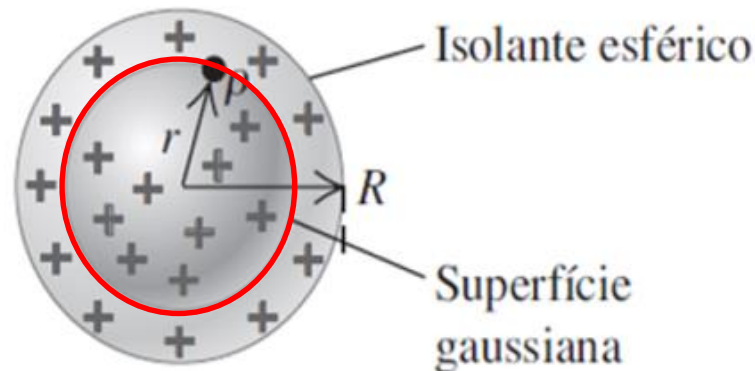
b)  $0 \leq r \leq R$

Dica!! Tome a seguinte relação:  $dV = 4\pi r^2 dr$

$$E(4\pi r^2) = \frac{1}{\epsilon_0} \int_V \rho dV = \frac{\rho}{\epsilon_0} \int_0^r dV = \frac{\rho}{\epsilon_0} \int_0^r 4\pi r^2 dr = \frac{\rho}{\epsilon_0} \left( \frac{4}{3} \pi r^3 \right)$$

$$E(4\pi r^2) = \frac{\rho}{\epsilon_0} \left( \frac{4}{3} \pi r^3 \right) \rightarrow \boxed{E(r) = \frac{\rho r}{3\epsilon_0}}$$

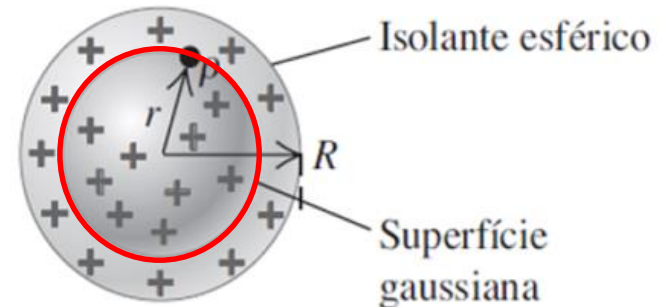
(Campo elétrico  $\vec{E}$  no **interior** de uma **esfera isolante** / **uniformemente carregada** em função de  $\rho$ )



# Aplicações da Lei de Gauss

b)  $0 \leq r \leq R$

Sabemos que,  $\rho = \frac{Q}{4\pi R^3/3}$ , o volume interno englobada pela superfície gaussiana é  $V_{int} = \frac{4\pi r^3}{3}$ , assim a carga interna será:



$$Q_{inter} = \rho V_{int} = \left( \frac{Q}{4\pi R^3/3} \right) \left( \frac{4\pi r^3}{3} \right) = Q \frac{r^3}{R^3}$$

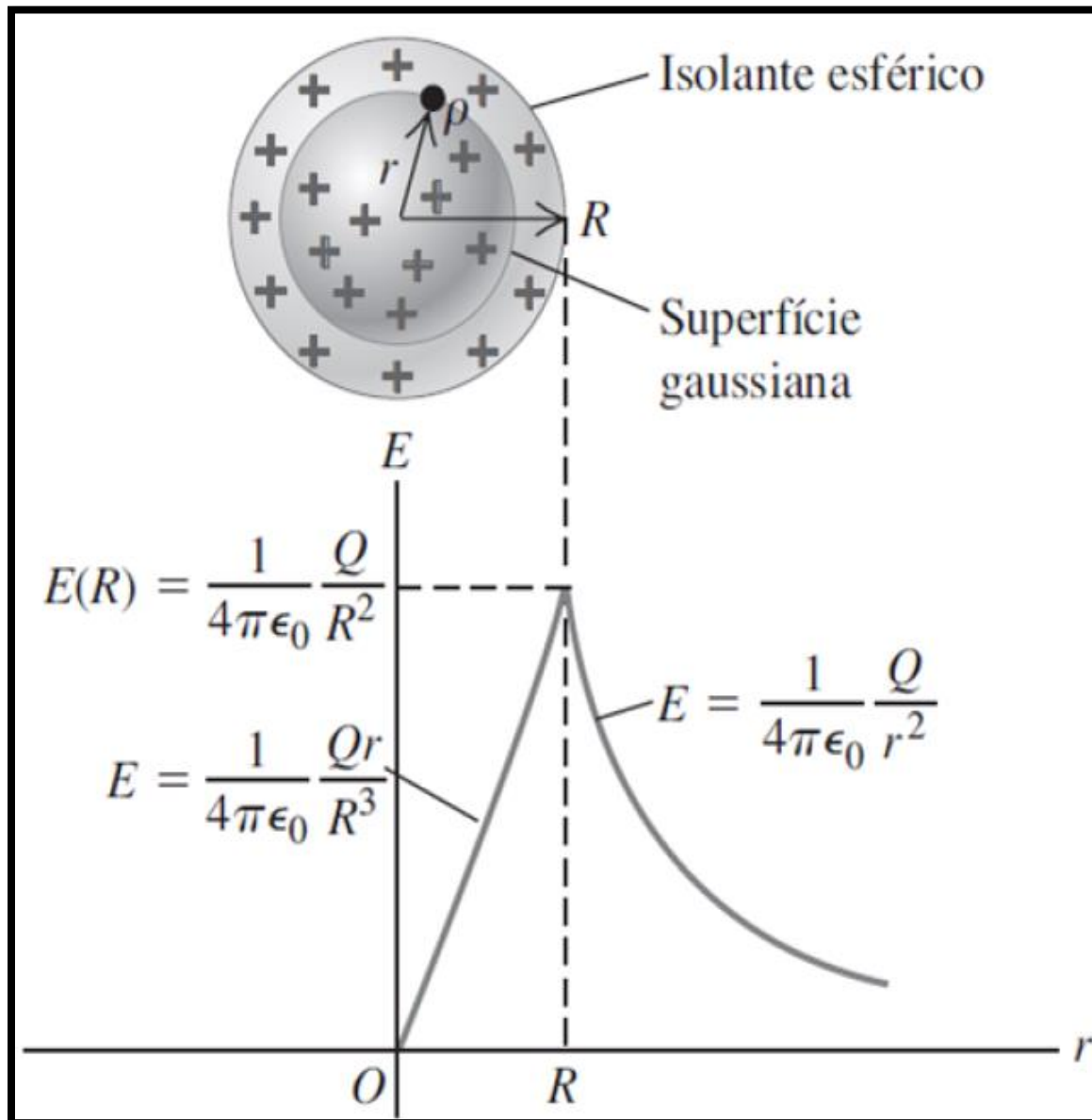
$$E(4\pi r^2) = \frac{Q}{\epsilon_0} \frac{r^3}{R^3}$$

$$E = \frac{Q}{4\pi\epsilon_0} \frac{r}{R^3}$$

(Campo elétrico  $\vec{E}$  no **interior** de uma **esfera isolante/uniformemente carregada** em função de Q)

# Aplicações da Lei de Gauss

**RESUMO:**  
Esfera Isolante  
Uniformemente  
Carregada



# Aplicações da Lei de Gauss

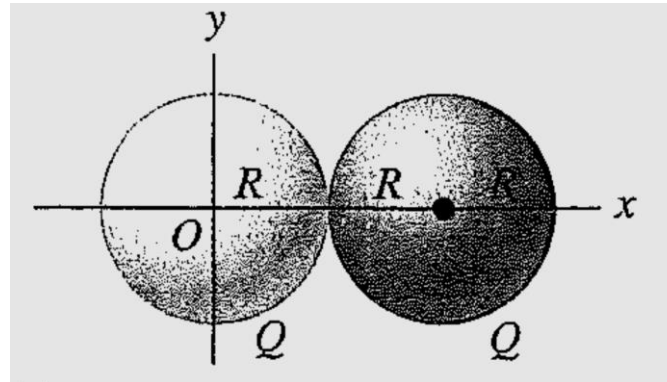
## 3) Esfera Isolante Uniformemente Carregada (RESUMO)

Campo Elétrico	em função de Q	em função de $\rho$
Dentro da esfera	$\vec{E} = \frac{Q}{4\pi\epsilon_0} \frac{r}{R^3} \hat{r}$	$\vec{E} = \frac{\rho \cdot r}{3\epsilon_0} \hat{r}$
Fora da esfera	$\vec{E} = \frac{Q}{4\pi\epsilon_0 r^2} \hat{r}$	$\vec{E} = \frac{\rho \cdot R^3}{3\epsilon_0 r^2} \hat{r}$

## Exemplo: Esfera Isolante (Uniformemente Carregada)

**Ex:** Uma carga positiva  $Q$  está **distribuída uniformemente** ao longo de cada **volume** de duas esferas, ambas de raio  $R$ . Uma das esferas está centralizada na origem e a outra está centralizada no ponto  $x = 2R$ . Determine o módulo, a direção e o sentido do campo elétrico produzido por estas duas distribuições de cargas, nos seguintes pontos sobre o eixo  $Ox$ .

- a)  $x = 0$ ;
- b)  $x = R/2$ ;
- c)  $x = 3R$ .

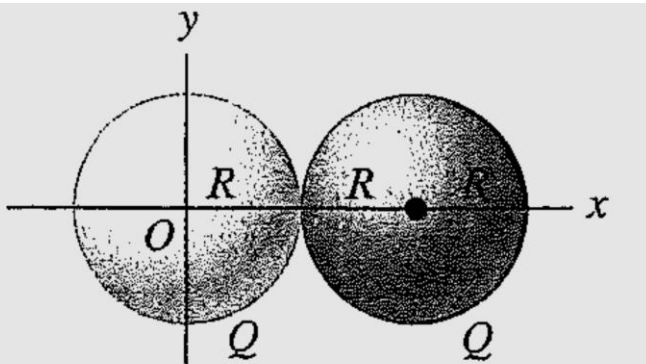




# Exemplo: Esfera Isolante (Uniformemente Carregada)

**Ex:** Uma carga positiva  $Q$  está **distribuída uniformemente** ao longo de cada **volume** de duas esferas, ambas de raio  $R$ . Uma das esferas está centralizada na origem e a outra está centralizada no ponto  $x = 2R$ . Determine o módulo, a direção e o sentido do campo elétrico produzido por estas duas distribuições de cargas, nos seguintes pontos sobre o eixo  $Ox$ .

- a)  $x = 0$ ;
- b)  $x = R/2$ ;
- c)  $x = 3R$ .



**IDENTIFY:** The electric field at each point is the vector sum of the fields of the two charge distributions.

**SET UP:** Inside a sphere of uniform positive charge,  $E = \frac{\rho r}{3\epsilon_0}$ .

$\rho = \frac{Q}{\frac{4}{3}\pi R^3} = \frac{3Q}{4\pi R^3}$  so  $E = \frac{Qr}{4\pi\epsilon_0 R^3}$ , directed away from the center of the sphere. Outside a sphere of uniform positive charge,  $E = \frac{Q}{4\pi\epsilon_0 r^2}$ , directed away from the center of the sphere.

**EXECUTE:** (a)  $x = 0$ . This point is inside sphere 1 and outside sphere 2. The fields are shown in Figure 22.63a.



Figure 22.63a

$$E_1 = \frac{Qr}{4\pi\epsilon_0 R^3} = 0, \text{ since } r = 0.$$

$$E_2 = \frac{Q}{4\pi\epsilon_0 r^2} \text{ with } r = 2R \text{ so } E_2 = \frac{Q}{16\pi\epsilon_0 R^2}, \text{ in the } -x\text{-direction.}$$

$$\text{Thus } \vec{E} = \vec{E}_1 + \vec{E}_2 = \frac{-Q}{16\pi\epsilon_0 R^2} \hat{i}.$$

# Exemplo: Esfera Isolante (Uniformemente Carregada)

(b)  $x = R/2$ . This point is inside sphere 1 and outside sphere 2. Each field is directed away from the center of the sphere that produces it. The fields are shown in Figure 22.63b.

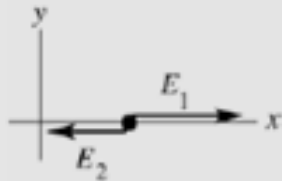


Figure 22.63b

$$E_1 = \frac{Qr}{4\pi\epsilon_0 R^3} \text{ with } r = R/2 \text{ so}$$

$$E_1 = \frac{Q}{8\pi\epsilon_0 R^2}$$

$$E_2 = \frac{Q}{4\pi\epsilon_0 r^2} \text{ with } r = 3R/2 \text{ so } E_2 = \frac{Q}{9\pi\epsilon_0 R^2}$$

$$E = E_1 - E_2 = \frac{Q}{72\pi\epsilon_0 R^2}, \text{ in the } +x\text{-direction and } \vec{E} = \frac{Q}{72\pi\epsilon_0 R^2} \hat{i}$$

(c)  $x = R$ . This point is at the surface of each sphere. The fields have equal magnitudes and opposite directions, so  $E = 0$ .

(d)  $x = 3R$ . This point is outside both spheres. Each field is directed away from the center of the sphere that produces it. The fields are shown in Figure 22.63c.

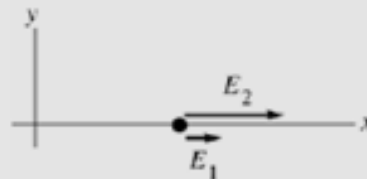


Figure 22.63c

$$E_1 = \frac{Q}{4\pi\epsilon_0 r^2} \text{ with } r = 3R \text{ so}$$

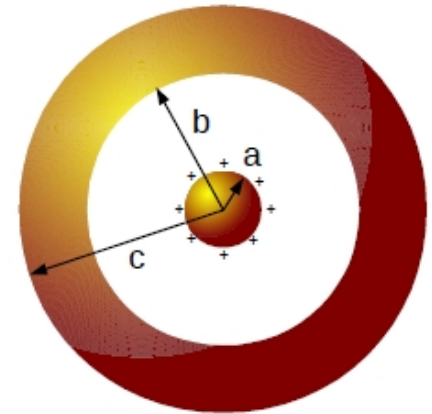
$$E_1 = \frac{Q}{36\pi\epsilon_0 R^2}$$

$$E_2 = \frac{Q}{4\pi\epsilon_0 r^2} \text{ with } r = R \text{ so } E_2 = \frac{Q}{4\pi\epsilon_0 R^2}$$

$$E = E_1 + E_2 = \frac{5Q}{18\pi\epsilon_0 R^2}, \text{ in the } +x\text{-direction and } \vec{E} = \frac{5Q}{18\pi\epsilon_0 R^2} \hat{i}$$

## Exemplo: Casca Esférica (1)

Uma esfera condutora de raio  $a$  é carregada com uma carga positiva  $Q$ . Esta esfera é colocada dentro de uma casca esférica condutora de raio interno  $b$  e externo  $c$ , com carga  $2Q$ . Determine o campo elétrico em todo espaço



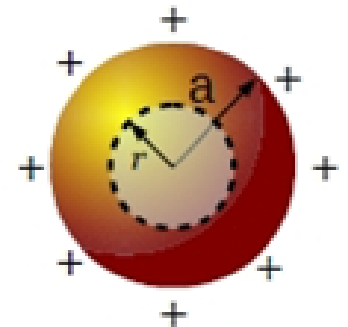
Calculando o campo em cada região:

- $r < a$ :

$$\oint \vec{E} \cdot d\vec{A} = \frac{q_t}{\epsilon_0}$$

Como não há carga no interior da superfície Gaussiana,

$$q_t = 0 \Rightarrow E = 0$$



## Exemplo: Casca Esférica (2)

- $a < r < b$ :

A carga total dentro da superfície é a própria carga  $Q$ .

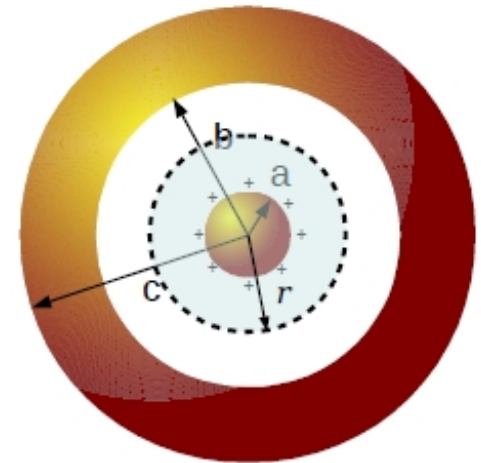
$$q_t = Q$$

Aplicando a Lei de Gauss:

$$\oint \vec{E} \cdot d\vec{A} = \frac{q_t}{\epsilon_0}$$

$$\oint E dA \cos 0^\circ = \frac{Q}{\epsilon_0}$$

$$E \oint dA = \frac{Q}{\epsilon_0} \Rightarrow E 4\pi r^2 = \frac{Q}{\epsilon_0} \Rightarrow E = \frac{1}{4\pi\epsilon_0} \frac{Q}{r^2}$$

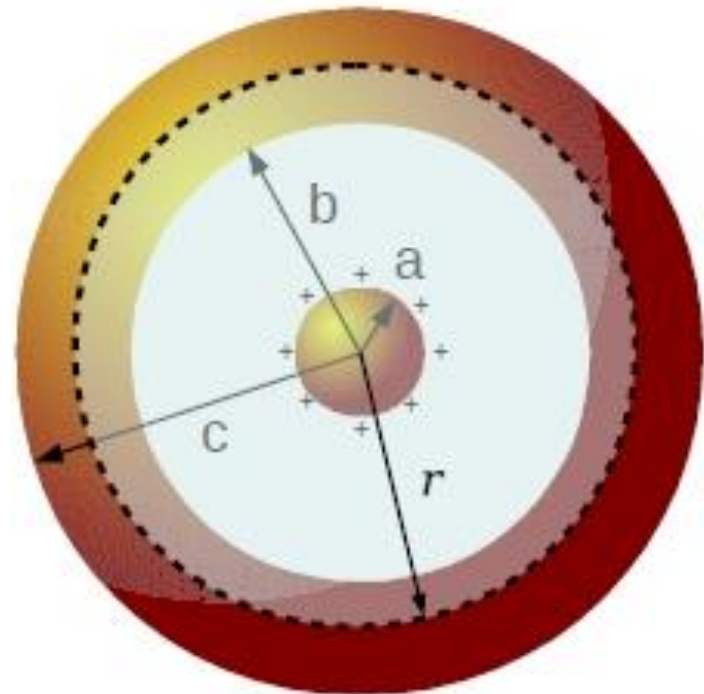


## Exemplo: Casca Esférica (3)

- $b < r < c$ :

Esta superfície está dentro da casca condutora e portanto o campo é nulo. Pela Lei de Gauss, isto implica que a carga dentro desta superfície deve ser nula:

$$\oint \vec{E} \cdot d\vec{A} = \frac{q_t}{\epsilon_0} \Rightarrow q_t = 0$$



## Exemplo: Casca Esférica (4)

- $c < r$ :

A carga total na superfície:

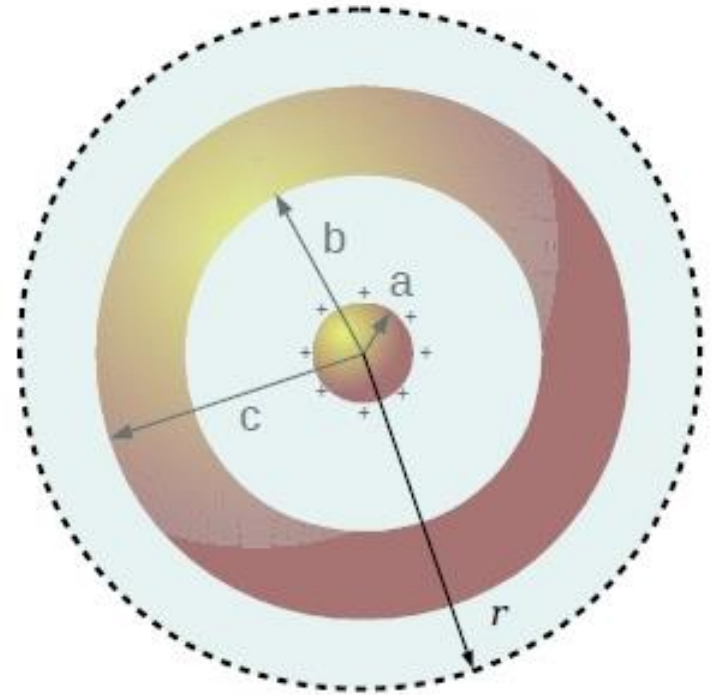
$$q_t = q_{ext} + q_{ind} + Q = 3Q$$

Aplicando a Lei de Gauss na superfície:

$$\oint \vec{E} \cdot d\vec{A} = \frac{q_t}{\epsilon_0}$$

$$\oint E dA \cos 0^\circ = \frac{3Q}{\epsilon_0}$$

$$E \oint dA = \frac{3Q}{\epsilon_0} \Rightarrow E 4\pi r^2 = \frac{3Q}{\epsilon_0} \Rightarrow E = \frac{1}{4\pi\epsilon_0} \frac{3Q}{r^2}$$

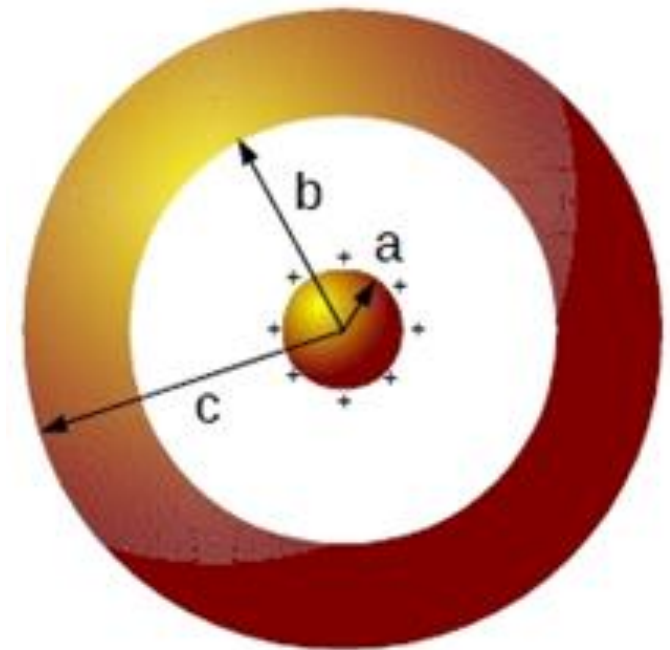




## Exemplo: Casca Esférica (5)

Portanto o campo será:

$$E = \begin{cases} 0 & , r < a \\ \frac{1}{4\pi\epsilon_0} \frac{Q}{r^2} & , a < r < b \\ 0 & , b < r < c \\ \frac{1}{4\pi\epsilon_0} \frac{3Q}{r^2} & , c < r \end{cases}$$





## Exemplo: Distribuição Volumétrica de Cargas (1)

Seja uma distribuição de cargas com simetria esférica com densidade volumétrica dada por:

$$\rho_V = \begin{cases} \frac{\rho_o r}{R}; & 0 \leq r \leq R \\ 0; & r > R \end{cases}$$

Determine o  $\vec{E}$  em um ponto qualquer.

**DICA:** Tome a seguinte relação:  $dV = 4\pi r^2 dr$

## Exemplo: Distribuição Volumétrica de Cargas (2)

Resolução:

$$\epsilon_0 \oint \mathbf{E} \cdot d\mathbf{S} = Q_{\text{enc}} = \int \rho_v dv$$

(a) Para  $r < R$

$$\epsilon_0 E_r 4\pi r^2 = Q_{\text{enc}}$$

$$= \int_0^r 4\pi r'^2 \frac{\rho_0 r'}{R} dr' = \frac{\rho_0 \pi r^4}{R}$$

$$\mathbf{E} = \frac{\rho_0 r^2}{4\epsilon_0 R} \mathbf{a}_r$$

## Exemplo: Distribuição Volumétrica de Cargas (3)

Resolução:

$$\epsilon_0 \oint \mathbf{E} \cdot d\mathbf{S} = Q_{\text{enc}} = \int \rho_v dv$$

(b) Para  $r > R$

$$\epsilon_0 E_r 4\pi r^2 = Q_{\text{enc}}$$

$$= \int_0^R \frac{\rho_0 r}{R} 4\pi r^2 dr + \int_R^r 0 \cdot 4\pi r^2 dr$$

$$= \pi \rho_0 R^3$$

$$\mathbf{E} = \frac{\rho_0 R^3}{4\epsilon_0 r^2} \mathbf{a}_r$$

# Dúvidas ??



BONS ESTUDOS !!!

Prof. Victor M. Miranda